

تأثیر اندازه و شکل سلول بر آستانه میدان الکتریکی و ولتاژ غشایی بحرانی در الکتروتروواسازی

لیلا توحیدی^۱، سید محمد فیروزآبادی^{*}، حسین مزدارانی^۲، تادی کوتینیک^۳، گرازد پوسیهار^۴، دامیان میکلاوجیج^۵

۱- دانشجویی دکتری فیزیک پزشکی، دانشکده پزشکی، دانشگاه تربیت مدرس تهران

۲- دانشیار گروه فیزیک پزشکی، دانشکده پزشکی، دانشگاه تربیت مدرس تهران

۳- استاد گروه ژنتیک پزشکی، دانشکده پزشکی، دانشگاه تربیت مدرس تهران

۴- دانشیار گروه مهندسی بیوالکتریک، دانشگاه لوبلیانا، اسلوونی

۵- دانشجویی گروه مهندسی بیوالکتریک، دانشگاه لوبلیانا، اسلوونی

۶- استاد گروه مهندسی بیوالکتریک، دانشگاه لوبلیانا، اسلوونی

تاریخ دریافت نسخه اصلاح شده: ۸۷/۸/۲ تاریخ پذیرش مقاله: ۸۷/۹/۵

چکیده

مقدمه: الکتروپوریشن یا الکترو تراواسازی یک روش برای افزایش تراوایی غشاء سلول توسط میدان الکتریکی خارجی است. این افزایش تراوایی در صورتی آشکار می شود که ولتاژ غشایی القایی با شدت میدان الکتریکی آستانه مناسب است، از یک مقدار بحرانی که بزرگتر شود. در این تحقیق، تغییرات شدت میدان الکتریکی آستانه و نیز ولتاژ غشایی بحرانی منجر به الکتروپوریشن مشاهده پذیر در سلولهای کروی و سلولهای چسبیده با شکل نامنظم، مورد بررسی قرار گرفته است.

مواد و روشها: سلولهای کروی با اندازه های مختلف و سلولهای چسبیده با شکلهای متنوع انتخاب شدند. سلولهای انتخاب شده تحت تأثیر چهار پالس الکتریکی با پهنای یکسان ۱۰۰ میکرومتری و دامنه افزایشی قرار گرفتند. رخداد الکتروپوریشن با افزایش فلورسانس ناشی از عبور یون کلسیم به داخل سلول، آشکار شده و شدت میدان الکتریکی آستانه برای هر سلول ثبت شد. شکل سه بعدی سلولهای مورد استفاده، از تصاویر سطح مقطع بدست آمدند. شبیه سازی با روش المان محدود برای بدست آوردن ولتاژ غشایی بحرانی الکتروپوریشن برای سلولهای مختلف انجام شد.

نتایج: مقادیر شدت میدان الکتریکی آستانه و نیز ولتاژ غشایی بحرانی برای سلولهای کروی بر حسب شعاع آنها بدست آمد. برای بررسی اثر شکل و جهتگیری سلولها بر شدت آستانه و ولتاژ بحرانی، سلولهای مورد مطالعه بر حسب شکل به سه دسته مجزا تقسیم شدند. مقادیر مورد نظر برای تمام سلولهای هر گروه بدست آمد و نتایج بدست آمده برای هر گروه با یکدیگر مقایسه شدند.

بحث و نتیجه گیری: اندازه، شکل و جهتگیری سلولها روی ولتاژ غشایی بحرانی تأثیر می گذارند و تمام این عوامل به نوبه خود شدت میدان الکتریکی آستانه برای ایجاد تراوایی و در نتیجه بازده الکتروپوریشن را تغییر می دهند. (مجله فیزیک پزشکی ایران، دوره ۵ شماره ۲، پیاپی (۲۱۰)، پاییز و زمستان ۸۷: ۱-۱۴)

وازگان کلیدی: الکتروپوریشن، شکل سلول، سایز سلول، ولتاژ غشایی بحرانی، شدت میدان الکتریکی آستانه

*تویینده مسؤول: سیدمحمد فیروزآبادی

آدرس: تهران، گروه مهندسی پزشکی دانشگاه تربیت مدرس تهران

pourmir@modares.ac.ir

تلفن: ۰۹۸ (۲۱) - ۸۸۰۱۲۳۰ - نمبر: ۰۲۱ - ۸۲۸۸۳۸۲۱

www.SID.ir

۱- مقدمه

بنابراین در بسیاری از کاربردهای الکتروپوریشن، مثل الکتروکمتورابی، که برای نتیجه بخشی روش، تمام سلولهای ITVc مورد نظر باید الکتروپوریت شوند، تعیین صحیح مقدار بسیار حائز اهمیت است. از طرفی در اثر استفاده از پالسهای باشدت بسیار زیاد و یا با پهنهای بزرگ، این تکنیک می‌تواند ممکن است تخرب سلولی برگشت ناپذیر ایجاد کند که در الکتروکمتورابی می‌تواند باعث بروز اثرهای جانبی مثل تخرب سلولهای سالم و یا ایجاد زخم شود [۱۸] و در الکتروژن تراپی باعث کاهش انتقال موثر ژن به داخل سلول گردد. بنابراین قبل از شروع درمان، باید بهینه سازی پروتکل های پالس برای کاربردهای درمانی الکتروپوریشن صورت بگیرد.

از آنجا که شکل نامنظم و متنوع سلولهای بافت، چسبندگی و ارتباط آنها با یکدیگر و تاثیر متقابل آنها بر هم، پیچیدگیهایی را در محاسبات، شبیه سازیها و آزمایشها تحریبی به وجود می‌آورد، اکثر تحقیقات و مطالعات انجام شده در این زمینه، روی سوپرانسیونهای رقیق سلولهای کروی که در آنها اثر متقابل سلولها بر یکدیگر قابل چشم پوشی است، انجام شده است [۱۶ و ۱۹]. به منظور تعیین ولتاژ القایی غشایی برای سلولهای کروی تحت تاثیر میدان، استفاده از روشهای تحلیلی امکان پذیر است. این نتایج تحلیلی، اعتبارستنی نیز شده و مطابقت خوبی با نتایج آزمایشگاهی نشان داده اند [۲۰]. بدست آوردن نتایج تحلیلی برای شکلهای سلولی بیضی گون و استوانه ای بسیار پیچیده تر بوده و برای شکلهای بازهم پیچیده تر (مثل سلولهای بافت)، یافتن جواب تحلیلی تقریباً غیر ممکن است. در این موارد، یافتن ولتاژ القایی غشایی و شدت پالس آستانه، تنها با شبیه سازی [۱۵، ۲۱، ۲۲] و یا با مطالعات تحریبی امکان پذیر [۲۰، ۲۳، ۲۴] می‌شود. گرچه تعیین پروتکلی برای انجام الکتروپوریشن موثر سلولهای بافت، دشوارتر از الکتروپوریشن سلولهای سوپرانسیونی است، ولی

الکتروپوریشن یا تراواسازی الکتریکی یک روش الکتریکی به منظور منفذ سازی در غشاء سلول است که منجر به افزایش گذرا و برگشت پذیر تراوازی غشاء نسبت به موادی که در حالت طبیعی غیر قابل نفوذ به داخل سلول هستند می‌شود [۱]. این تکنیک، یک روش مناسب برای دستکاری ژن و سیتوسول توسط انتقال یونها و یا مولکولهای خارجی مثل داروها، هورمونها، پروتئینها، پلasmیدها و DNA به داخل سلولها است. به همین دلیل، الکتروپوریشن سلولهای بافت، اهمیت روز افزونی مخصوصاً در کاربردهای کلینیکی مثل درمان سرطان (الکتروکمتورابی) [۲ و ۳]، ژن درمانی (الکتروژن تراپی) [۴ و ۵]، ایمونولوژی [۶]، و بیولوژی سلولی [۷] پیدا کرده است. به موازات بررسی و گسترش کاربردهای تحریبی این روش، تحقیقاتی نیز برای فهم بیشتر این پدیده، انجام می‌گیرد [۸ و ۹ و ۱۰]. در این روش، سلولها تحت تاثیر پالسهای الکتریکی با پهنهای کم و شدت زیاد قرار می‌گیرد. اعمال این پالسهای الکتریکی به دلیل رسانایی بسیار کم غشاء سلول نسبت به محیط داخل و خارج سلولی، موجب القاء یک اختلاف پتانسیل الکتریکی در دو طرف غشاء می‌شود که ولتاژ غشایی (ITV) نامیده می‌شود. ITV به شدت میدان الکتریکی، سایز و شکل سلول بستگی دارد و در نقاط مختلف غشاء مقادیر متفاوتی دارد [۱۱ و ۱۲]. آزمایشها نشان می‌دهد که برای ایجاد یک انتقال موثر و قابل مشاهده به داخل سلول توسط الکتروپوریشن، شدت میدان الکتریکی باید از یک مقدار آستانه، بزرگتر باشد [۱۳ و ۱۴ و ۱۵] و در این صورت ولتاژ غشایی سلول از یک ولتاژ القایی بحرانی^۱ (ITVc)، که مقدار آن به نوع سلول بستگی دارد [۱۶ و ۱۷] بیشتر شود.

۱- Critical Induced Transmembrane Voltage

۲- مواد و روشها**۱-۲ قسمت تجربی****۱-۱ آماده سازی سلولها**

سلولهای تخدمان همسنر چینی^۱ ("سى اچ او") (تهیه شده از بانک سلولی ملی اسلوونی^۲) در محیط کشت "هم-اف" ۱۲^۳ که حاوی ۸٪ سرم جنین گاوی^۴، ۰/۱۵ میلی گرم بر میلی لیتر ال-گلوتامین^۵ (هر سه تهیه شده از شرکت سیگما-آلدریش^۶ آلمان)، ۲۰۰ واحد بر میلی لیتر کریستیلین^۷ و ۱۶ میکرو گرم بر میلی گرم جتامايسین است، کشت داده شد و در انکوباتور دی اکسید کربن در دمای ۳۷ درجه سانتیگراد قرار گرفت. تعداد ۲×۱۰^۴ سلول CHO در چنبرهای لب-تک II^۸ از شرکت آمریکایی نالگی نونک^۹ در محیط "هم-اف" ۱۲، کشت داده و انکوبه شد. آزمایش روی سلولهای کروی، ۲ الی ۳ ساعت بعد از کشت که سلولها بطور بسیار جزئی به کف ظرف چسبیده اند و هنوز شکل کروی خود را حفظ کرده بودند، ۲۴ ساعت بعد از کشت در چنبرهای سلولهای چسبیده، ۲۲ الی ۲۴ ساعت بعد از کشت در چنبرهای سلولهای چسبیده، کشت شده در طور کامل به کف ظرف چسبیده و شکل نامنظم پیدا کرده باشد. در این تحقیق، سلولهایی مورد بررسی قرار گرفتند که بصورت منفرد رشد کرده باشند و به سلولهای مجاور نچسبیده باشند. با توجه به تعداد نسبتاً کم سلولهای کشت شده در هر چنبر و زمان انکوبه کردن سلولها، چنین سلولهایی به راحتی قابل دستیابی هستند.

آماده سازی سلولها برای شروع آزمایشها اصلی در ۳ مرحله پیاپی انجام شد:

1- Chinese Hamster Ovary (CHO-K1)

2- National cell bank of Slovenia

3- HAM-F12

4- FCS

5- L-glutamine

6- Sigma-Aldrich, Steinheim

7- Crysticillin

8- Lab-Tek II chambers

9-Nalge Nunc International, USA

انتخاب پارامترهای درمانی به منظور بزرگتر شدن ولتاژ القایی غشایی تمام سلولهای تومور از ولتاژ القایی بحرانی [۱۴]. به منظور نزدیکتر شدن به چنین پرتوکلی، مناسب به نظر می رسد که از مدل ساده تر بافت، مثل سوسپانسیونهای بسیار چگال و یا سلولهای چسبنده تک لایه ای که شکل نامنظمی دارند، استفاده شود [۱۹ و ۲۵].

تا حال مطالعه جامعی در مورد ITVc صورت نگرفته است. در برخی مطالعات مربوط به الکتروپوریشن، بسته به نوع سلول، مقدار ITVc برای تعداد پالسهای یکسان با پهنهای مساوی، ثابت فرض شده است [۲۵ و ۲۰]. در مطالعاتی دیگر، ITVc بطور تجربی توسط تعیین کمترین میدان الکتریکی لازم برای مشاهده الکتروپوریشن در یک جمعیت سلولی بدست آمده است [۲۶ و ۱۶] و لی از آنجاییکه این جمعیت سلولی، شامل سلولهای با سایز مختلف است و با توجه به اینکه ولتاژ غشایی حادث شده به سایز سلول بستگی دارد، سلولهای بزرگتر با شدت میدان الکتریکی کوچکتری الکتروپوریت می شوند. ولیکن در تحقیقات گذشته ITVc بدست آمده توسط این تحقیقات، مربوط به بزرگترین سلول موجود در جمعیت سلولی مورد مطالعه است [۱۶ و ۲۶].

در این تحقیق، در جهت هر چه بیشتر نزدیک شدن به پاسخ سلولهای بافت به میدان الکتریکی اعمالی، سلولهای با اندازه و شکل و جهتگیریهای مختلف در نظر گرفته شد. بستگی شدت میدان الکتریکی آستانه و ولتاژ بحرانی غشایی برای رخداد الکتروپوریشن در سلولهای کروی و چسبیده با شکل نامنظم مورد بررسی قرار گرفت. اثر اندازه، شکل و جهتگیری سلول بر شدت میدان الکتریکی آستانه و ولتاژ بحرانی غشایی در این تحقیق بررسی شده است.

ج) اضافه کردن کلسیم به محیط سلولها قبل از اعمال پالس برای آشکارسازی الکتروپوریشن سلولها، از تغییر فلورسانس "فورا^{۲۱}" در اثر پیوند با یون کلسیم استفاده شد. بدین منظور، "اس ام ای ام" با "هم-اف^{۱۲}" که حاوی ۱/۰۵ میلی مولار یون کلسیم است، جایگزین شد. یونهای کلسیم غیر قابل نفوذ به داخل سلول هستند، بنابراین اگر یونهای کلسیم در هنگام اعمال پالس در محیط داخل سلولی وجود نداشته باشد ولی در محیط خارج سلولی موجود باشد، در صورت ایجاد منافذ در غشاء سلول (الکتروپوریشن)، یون کلسیم وارد سیتوسول شده و نشانگر "فورا^{۲۱}" می تواند این تغییر را آشکار کند.

۲-۱-۲ تصویر برداری از سلولها

برای بدست آوردن شکل واقعی سلولهای تحت تابش، تصاویر فلورسانس سطح مقطعهای سلول با شیفت فوکوس میکروسکوپ فلورسانسی (آکسیورت^۸، ۲۰۰، چشمی ۶۳ × با ایمرشن روغن، از از کارخانه زیس^۹، آلمان) در پله های عمودی ۲ میکرومتری که از از پایین تا بالای سلول را جاروب می کرد، توسط دوربین CCD نوع ویزیکم^{۱۰} و نرم افزار متامورف^{۱۱}، (هر دو از ویزیترون^{۱۲} آلمان)، تهیه شدند. این تصاویر در حافظه رایانه ذخیره شد. پس از آزمایش، این تصاویر پردازش و شکل واقعی سلولها حاصل شد (شکل ۳ الف).

۲-۱-۳- اعمال پالس الکتریکی و آشکارسازی الکتروپوریشن در آزمایشهای تجربی

برای اعمال پالس الکتریکی به سلولها، از یک جفت الکترود پلاتین/ایریدیم (Pt/Ir) به قطر ۰/۸ میلیمتر، چسبیده به کف ظرف و به فاصله ۴ میلیمتر از هم مورد استفاده قرار گرفت (شکل ۱ الف). در این تحقیق فرض شده که میدان الکتریکی

الف) اضافه کردن "فورا-۲ ای ام"^۱

"فورا^{۲۱}" یک ماده فلورسانس نسبت سنج^۲ حساس به یون کلسیم است [۲۷] (تحریک در ۳۴۰/۳۸۰ نانومتر و تابش در ۵۴۰ نانومتر)، که در این آزمایش برای آشکارسازی الکتروپوریشن از آن استفاده شد. بدین منظور، سلولها با "اس ام ای ام"^۳ (تهیه شده از کمپانی گیبکو^۴) که عاری از کلسیم است، شسته شد و سپس برای ۳۰ دقیقه در محلول "اس ام ای ام" که حاوی "فورا-۲ ای ام"^۵ ۱/۵ میکرومولار و اسید پلورونیک^۶ ۲۰۰ میکرومولار (هر دو تهیه شده از شرکت مولکولار پروب^۷، هلند) است، در دمای ۲۱ درجه سانتیگراد قرار گرفت و سپس مجددا با "اس ام ای ام" شستشو شد. در این مدت، "فورا-۲ ای ام" به دلیل وجود عامل ای ام از غشاء وارد سلول می شود و در این انتقال تبدیل به "فورا^{۲۱}" می شود که در صورت حضور کلسیم در محیط، با آن برهمنکش داده و تغییر بارزی در فلورسانس آن ظاهر می شود.

ب) اضافه کردن "دی-۸-انپس"^۸

"دی-۸-انپس" یک ماده فلورسانس است که وقتی به غشاء متصل می شود، لبه های سلول را قابل رویت می کند (تحریک در ۴۹۰ نانومتر و تابش در ۶۰۵ نانومتر) و می تواند به عنوان نشانگر غشاء سلول در طی این آزمایش استفاده شود. بدین منظور، سلولها به مدت ۱۰ دقیقه در محلول "اس ام ای ام" شامل "دی-۸-انپس" ۱۰ میکرومولار، در دمای ۴ درجه سانتیگراد قرار داده شد و سپس با "اس ام ای ام" خالص شستشو شد تا این ماده از محیط اطراف سلول شسته شود.

1- Fura2-AM

2- Ratio-metric

3- Spinner's Minimum Essential Medium (SMEM)

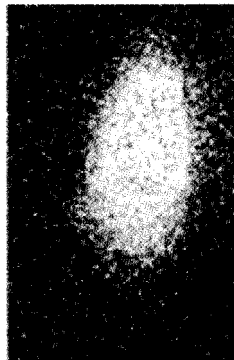
4- Gibco, USA

5- pluronic acid

6- Molecular probes, Leiden

7- di-8-ANEPPS

تحریکی ۳۴۰ و ۳۸۰ نانومتر گردید. به دلیل نسبی سنجی بودن "فورا^{۲۱}", این روش حساسیت لازم برای اشکارسازی مقادیر بسیار کم کلسیم (حتی در حدود ۱۰۰ نانو مولار) را دارد. تغییرات فلورسانس مشاهده شده در اثر رخداد الکتروپوریشن، برای سلول نمونه مورد نظر در شکل ۳ الف، در شکل ۲ مشاهده می شود.



(ب)

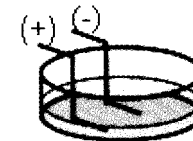


(الف)

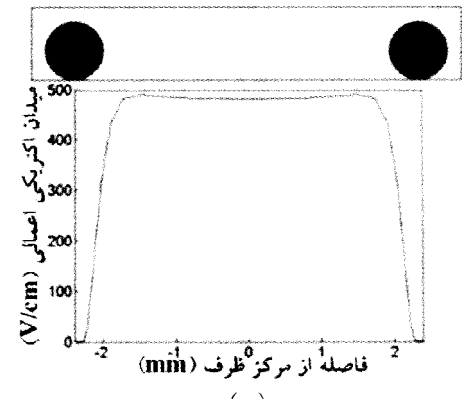
شکل ۲- آشکارسازی الکتروپوریشن با استفاده از فورا، برای سلول مورد بررسی در شکل ۱، الف) قبل از اعمال پالس (ب) بعد از اعمال پالس و رخداد الکتروپوریشن

برای یافتن میدان الکتریکی آستانه برای الکتروپوریشن هر سلول، از پالسهای متوالی با پهنهای ثابت ۱۰۰ میکرومتریه و با دامنه افزایشی پله ای (۵۰ ولت بر سانتی متر برای هر دو پالس متوالی) استفاده شد. اگر سلولی با اولین پالس اعمال شده، الکتروپوریست شد، آن شدت میدان نمی تواند به عنوان شدت آستانه در نظر گرفته شود چون این امکان وجود داشته است که سلول با شدت کمتری نیز الکتروپوریست شود. در ضمن، فاصله زمانی بین پالسهای متوالی، ۴ دقیقه در نظر گرفته شد تا سلول در هنگام دریافت پالس بعدی، تقریباً به حالت نرمال خود برگشته باشد. تعداد پالس اعمالی به نمونه سلولی کمتر یا مساوی ۴ پالس بود تا سلولها از حالت فیزیولوژی اولیه خود فاصله نگیرند. در آزمایشهای انجام شده، سعی شد که یک محدوده وسیع از اندازه، شکل و جهتگیری سلولها مورد بررسی قرار گیرد. بدین منظور، اولین مقدار شدت میدان الکتریکی اعمالی بسته به نمونه

حاصل بین دو الکترود یکنواخت است. برای بررسی صحبت این فرضیه معادله لایاس با اعمال شرایط مرزی مسئله توسط شبیه سازی، با استفاده از نرم افزار کمسول^۱ حل گردید. با توجه به توزیع بدست آمده (شکل ۱ ب)، توزیع میدان الکتریکی در فاصله میان دو الکترود می تواند همگن فرض شود و این فرضیه که سلوهای این ناحیه تحت تاثیر میدان الکتریکی یکسان هستند، فرض صحیح است.



(الف)



(ب)

شکل ۱- (الف) نحوه قرار گیری الکترود در جبر سلولها برای انجام الکتروپوریشن. (ب) قسمت بالا، سطح مقطع الکتروودها در کف ظرف و قسمت پایین، توزیع میدان الکتریکی حاصل بین دو الکترود وقتی که اختلاف پتانسیل ۲۰۰ ولت به الکتروودها اعمال شود را نشان می دهد.

پالسهای الکتریکی توسط دستگاه کلینیپوریتور^۲ (آی جی ای ای^۳ ایتالیا) اعمال گردید. الکتروپوریشن منجر به نفوذ یونهای کلسیم به داخل سلول شد و در اثر ایجاد پیوند با "فورا^{۲۱}" باعث تغییر طیف تابشی در ۵۴۰ نانومتر برای دو طول موج

1- COMSOL 3.3

2 Cliniporator

3 IGEA

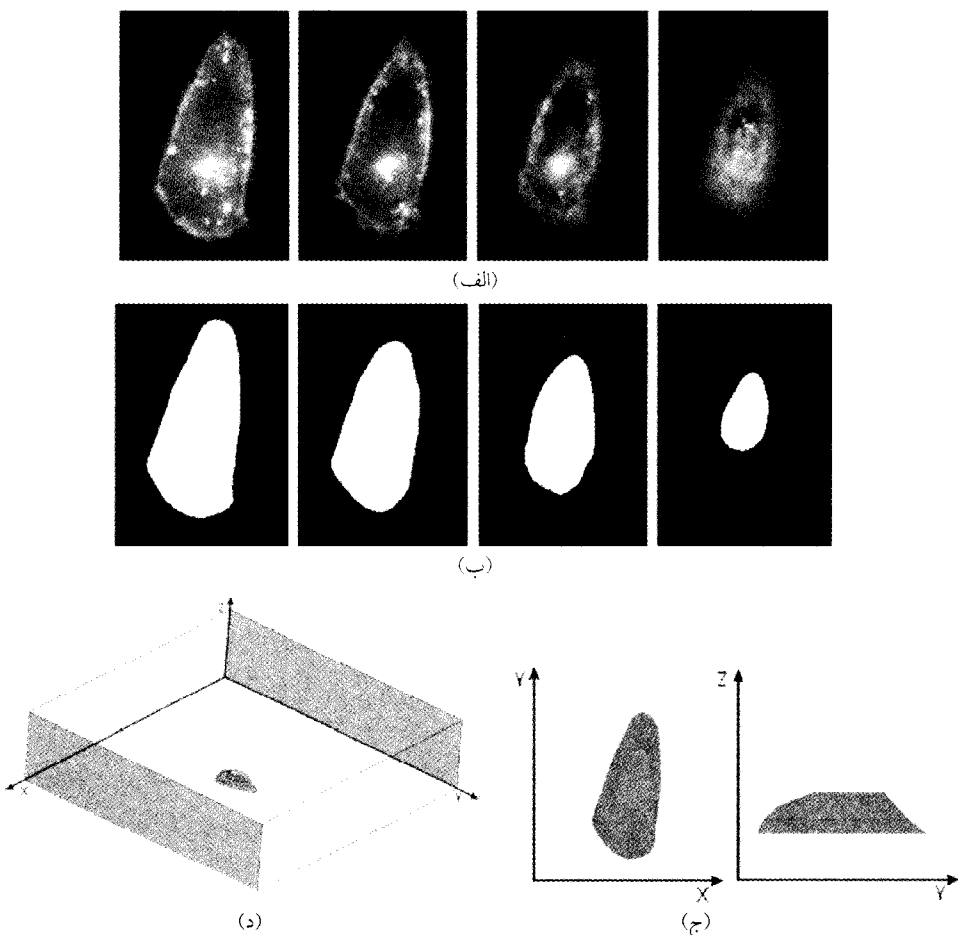
تبديل (شکل ۳ ب) و لبه های سلول در تصاویر حاصل، مشخص گردیدند. سپس با يك برنامه نويسی در محیط متلب ۷/۲ و کمسول ۳/۳ (از شرکت کامسول آمریكا)، لبه های مشخص شده سلول به ۳۰ تا ۳۵ قسمت تقسیم و با دستورهای مناسب و با لحاظ کردن فاصله بین سطح مقطعهای متواالی (۲ میکرومتر)، به هم متصل گردیده و تصویر سه بعدی هر سلول به طور مجزا بدست آمد. مراحل ذکر شده در شکل ۳ مشاهده می شود. برای سلولهای کروی، بزرگترین شعاع سطح مقطعهای حاصل برای هر سلول، به عنوان شعاع سلول کروی در نظر گرفته شد.

مورد نظر، با توجه به مشخصات هندسی سلول و نیز آزمایشهاي پایلوت، بین ۱۵۰ تا ۶۰۰ ولت بر سانتی متر انتخاب شد. این مراحل برای سلول با شکل نامنظم با تنوع هندسی و برای سلولهای کروی با تمام شعاعهای ممکن برای این نوع سلول تکرار گردید. تعداد سلولهای کروی و نیز چسییده بررسی شده در این تحقیق، هر کدام ۶۶ نمونه بود.

۲-۲- قسمت شبیه سازی

۱-۲-۲ ساخت مدل هندسی سلول

برای ساخت مدل هندسی سلولها، از تصاویر بدست آمده در بخش ۲-۱-۲ استفاده شد. این تصاویر که ۸ بیتی هستند، توسط نرم افزار کورل ۱۱ به تصاویر ۱ بیتی (سیاه و سفید)



شکل ۳- (الف) چهار سطح مقطع یک سلول "سی اچ او" از پایین تا بالای سلول، به فاصله ۲ میکرومتر (ب) تعیین مرزهای سلول برای هر سطح مقطع (ج) نمای بالایی و جانبی سلول مورد نظر (د) محل قرار گیری سلول مدلسازی شده، چنبر و الکترودها (سطوح خاکستری رنگ)

دست می آید:

$$ITV = \varphi_0 - \varphi_i = f_s E R \cos \theta \quad (1)$$

که در آن ITV نشان دهنده ولتاژ القایی غشایی، φ_i و φ_0 به ترتیب، نمایانگر پتانسیل سطح خارجی و داخلی غشاء، E میدان الکتریکی خارجی، R شعاع سلول و θ زاویه بین جهت میدان الکتریکی و خطی است که مرکز سلول را به نقطه مورد نظر وصل می کند. f_s تابعی است که حاوی اطلاعات ابعادی و الکتریکی سلول و محیط اطراف آن می باشد و توسط

رابطه زیر بیان می شود:

$$f_s = \frac{3}{2} \frac{\sigma_e [3dR^2\sigma_i + (3d^2R - d^3)(\sigma_m - \sigma_i)]}{R^3(\sigma_m + 2\sigma_e)(\sigma_m + \frac{1}{2}\sigma_i) - (R-d)^3(\sigma_e - \sigma_m)(\sigma_i - \sigma_m)} \quad (1)$$

که در آن E_T شدت میدان الکتریکی آستانه و $ITVc$ ولتاژ غشایی بحرانی می باشد.

بنابراین با استفاده از شعاعهای اندازه گیری شده برای سلولهای کروی و نیز ولتاژ بحرانی گزارش شده برای سلولهای "سی اج او" [۲۳]، شدت آستانه الکتروپوریشن برای این سلولها بطور تحلیلی با استفاده از رابطه (۴) بدست آمد (شکل ۵) و با نتایج تجربی حاصل از بخش ۳-۱-۲ مقایسه شد.

۳-۲-۳ شبیه سازی برای یافتن ولتاژ بحرانی الکتروپوریشن در سلولهای با شکل نامنظم همانطور که در مقدمه ذکر شد، برای سلولهای با شکل نامنظم، روش تحلیلی کارایی ندارد. بنابراین در این تحقیق، برای این سلولها از شبیه سازی استفاده شد و معادله لایپلاس با استفاده از روش المان محدود توسط نرم افزار کمسول ۳.۳ (شرکت کمسول، آمریکا)، بخش محیطهای رسانا AC/DC حل شد. بدین منظور، سلول مورد نظر که شکل هندسی آن مطابق بخش ۱-۲-۲ ساخته شده، در کف یک چنبر مجازی به شکل مکعب مستطیل به ابعاد $200 \times 200 \times 50$ میکرومتر قرار گرفت. به دو وجه

۲-۲-۲ معادلات و مدل ریاضی برای یافتن آستانه الکتروپوریشن در سلولهای کروی

از دید نظری، وقتی یک سلول تحت تاثیر میدان الکتریکی خارجی قرار می گیرد، از آنجاییکه رسانندگی غشاء چندین مرتبه بزرگی از رسانندگی محیط داخل و خارج سلولی کمتر است، تمرکز میدان الکتریکی در ناحیه غشاء بسیار بیشتر است. اختلاف پتانسیل القاء شده در دو طرف غشاء با حل معادله لایپلاس بدست می آید [۲۸]. برای حالت ساده یک سلول کروی که تحت تاثیر میدان الکتریکی ثابت قرار گیرد، جواب

در این رابطه، σ_i ، σ_m و σ_e به ترتیب رسانندگیهای سیتوپلاسم، غشاء سلول و محیط خارجی سلول می باشد و d ضخامت غشاء سلول است.

تحت شرایط فیزیولوژیک، رسانندگی غشاء بسیار کمتر از رسانندگی محیط خارج و داخل سلولی می باشد، بنابراین بسیار نزدیک به $1/5$ خواهد بود و خواهیم داشت:

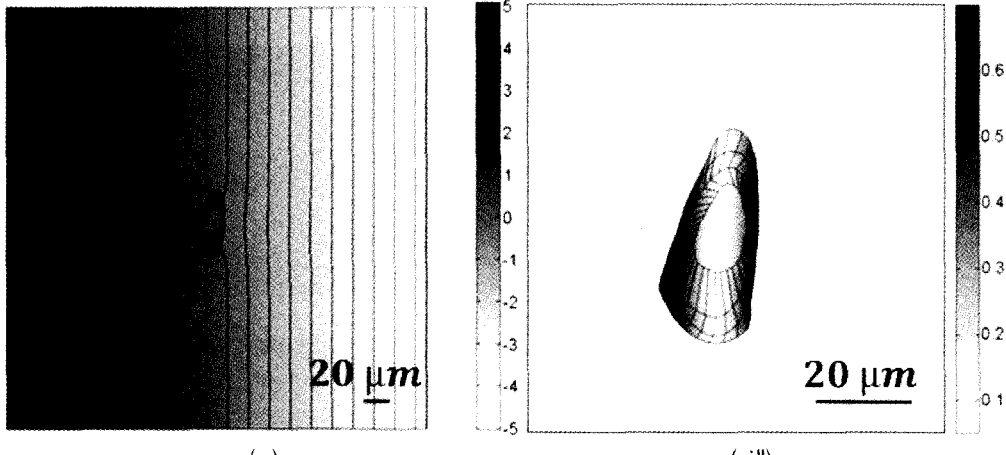
$$ITV = \frac{3}{2} E R \cos \theta \quad (3)$$

وقتی شدت میدان الکتریکی اعمالی از شدت آستانه بزرگتر شود، در قسمتهایی از غشاء که ولتاژ غشایی القایی از ولتاژ بحرانی غشاء سلول بزرگتر شود، تراوایی غشاء افزایش می یابد [۱۴]. فرمول (۳) نشان می دهد که ولتاژ غشایی القایی به اندازه سلول بستگی دارد. با توجه به فرمول (۳)، روشن است اولین نقاطی که به ولتاژ بحرانی می رسد، قطبهای کره ($\theta = 0$ و $\theta = \pi$) هستند. پس شدت میدان آستانه برای الکتروپوریست شدن سلول، از رابطه زیر بدست می آید:

$$E_T = \frac{2}{3} \frac{ITVc}{R} \quad (2)$$

با استفاده از شرایط مرزی وارد مسئله می شود که جزئیات این مدل در مرجع [۲۵] یافت می شود. در ضمن به دلیل مهمتر بودن نتایج حاصل برای ناحیه غشاء در این تحقیق، مشاهی ناحیه غشاء کوچکتر در نظر گرفته شد. تعداد کل المانهای مش در هر شبیه سازی، در حدود ۲۰۰۰۰ المان بود. حاصل این شبیه سازی، یافتن توزیع پتانسیل الکتریکی در تمام فضای مدل است. ولتاژ غشایی در تمام طول غشاء، از تفاضل پتانسیل خارج و داخل سلول در هر نقطه از غشاء بدست می آید. میزان ولتاژ بحرانی غشاء، بیشترین مقدار ولتاژ غشایی بدست آمده در سرتاسر آن می باشد (شکل ۴).

روبروی چنر ولتاژی منسوب می شود تا میدان الکتریکی حاصل در محل سلول باشدت میدان اعمالی آستانه (E_T) که در حالت تجربی بخش ۲-۱-۳ بدست آمد، یکسان شود (شکل ۳). رسانندگیهای سیتوپلاسم و غشاء به ترتیب 0.3×10^{-7} و 0.03×10^{-7} زیمنس بر متر و ضخامت غشاء برابر ۵ نانومتر در نظر گرفته شد [۱۱ و ۱۲]. رسانندگی محیط خارج سلولی نیز بر اساس اندازه گیری با رسانایی سنج، ۱ زیمنس بر متر در نظر گرفته شد. از آنجاییکه ضخامت غشاء سلول از ابعاد سلول بسیار کوچکتر است، در مش بندی و حل المان محدود در ناحیه غشاء مشکلاتی ایجاد می شود. به منظور اجتناب از این مشکلات در حل مسئله، غشاء



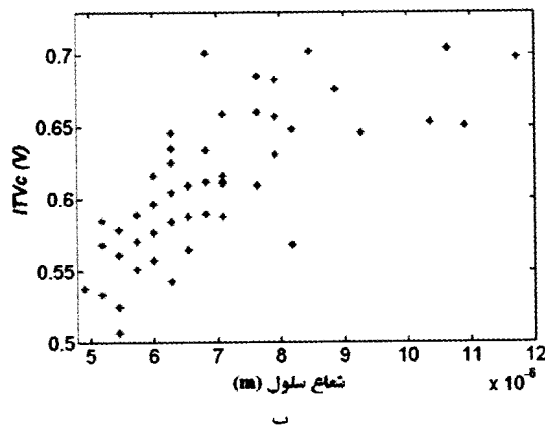
شکل ۴- (الف) توزیع پتانسیل الکتریکی محاسبه شده در داخل و خارج سلول برای پایین ترین سطح مقطع سلول مورد نظر در شکل ۱. ب) اندازه ولتاژ غشایی محاسبه شده. منحنیهای موجود در شکلها نشان دهنده سطوح هم پتانسیل است.

شده برای سلولهای کروی در شکل ۵ ب مشاهده می شود. از آنجاییکه سلولهای چسبیده شکلها و جهتگیریهای متفاوتی دارند، برای بررسی تاثیر جهتگیری سلول بر E_T و ITV_C سلولهایی با شکلها متنوع مورد مطالعه قرار گرفت. این سلولهایی مورد مطالعه، بر حسب جهتگیری آنها به سه گروه مختلف دسته بندی شدند بطوریکه گروه ۱ شامل سلولهایی با سطح مقطع دایره ای شکل، گروه ۲ حاوی سلولهایی با کشیدگی در جهت تقریبا عمود بر میدان الکتریکی (با سطح

۳- نتایج

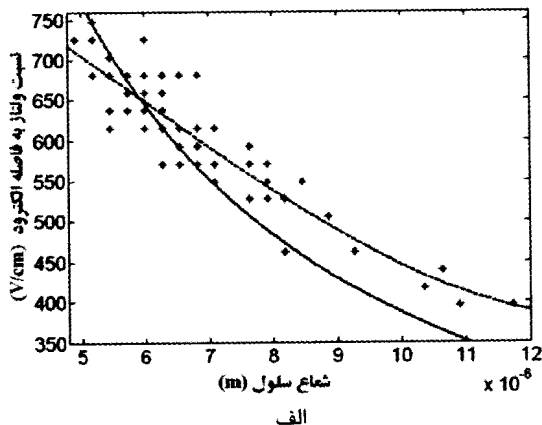
در آزمایشها انجام شده، شدت آستانه الکتروپوریشن برای سلولهای کروی با شاععهای مختلف بطور عملی بدست آمد. بر اساس داده های حاصل، نسودار وابستگی E_T به شعاع سلولهای کروی مطابق شکل ۵ الف رسم شد. در این شکل، دلیل کمتر بودن تعداد نقاط آزمایشی قابل رویت از تعداد سلولهای در نظر گرفته شده، همپوشانی برخی نقاط به دلیل یکسان بودن مختصات آنهاست. بازه تغییرات ITV_C محاسبه

نتایج به دست آمده برای E_T مربوط به سلولها با شکل و جهتگیریهای مختلف با توجه به گروه بندی انجام شده، که از طریق آزمایش‌های تجربی بدست آمد، در شکل ۷ الف مشاهده می‌شود. با استفاده از مقادیر E_T برای هر سلول و مدل‌سازی هندسی و شبیه‌سازی، $ITVc$ برای هر سلول بدست آمد و بر اساس گروه بندی ذکر شده، نتایج در شکل ۷ ب آورده شده است. میانگین و انحراف معیار کمیتهای مورد نظر برای هر گروه در شکل ۷ الف و ب مشخص است.



ب

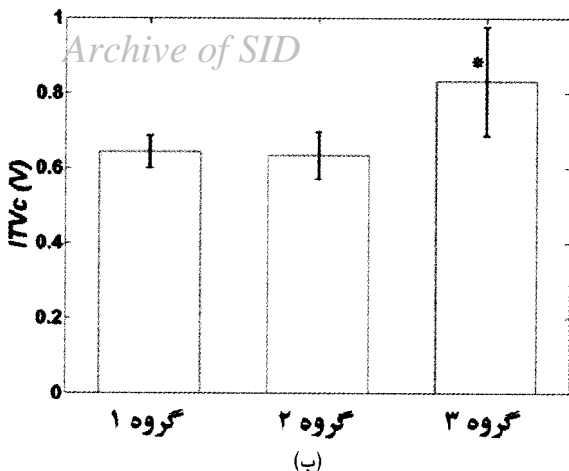
قطعه بیضی و قطر اصلی عمود بر راستای میدان الکتریکی) و گروه ۳ شامل سلولها با کشیدگی تقریباً در راستای میدان الکتریکی (با سطح مقطع تقریباً بیضی شکل و قطر اصلی در راستای میدان الکتریکی) هستند. نمای بالای شکلهای سه بعدی سلولهای مورد مطالعه در گروههای ذکر شده، در شکل ۶ مشاهده می‌شود. تعداد نمونه در گروههای ذکر شده به ترتیب ۲۰، ۳۰ و ۱۶ هستند.



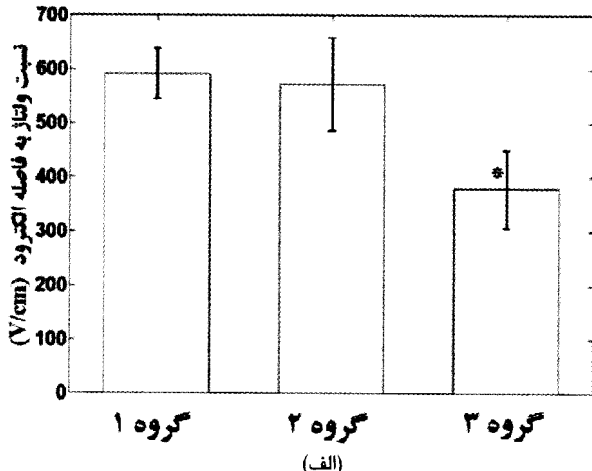
شکل ۵- (الف) اثر شعاع سلولهای کروی بر شدت میدان الکتریکی آستانه به منظور الکتروپوریشن. منحنی توپر و خط چین به ترتیب پیش‌بینی نظریه ریاضی و منحنی برآنش شده به داده‌های تجربی را نشان می‌دهد. (ب) بستگی ولتاژ غشایی بحرانی ($ITVc$) به شعاع سلولهای کروی.

$$\begin{aligned} E &= \text{گروه ۱} \\ &= \left\{ \begin{array}{ccccccccc} 0 & 0 & 0 & 0 & 0 & 0 & 0 & 0 & 0 \\ 0 & 0 & 0 & 0 & 0 & 0 & 0 & 0 & 0 \\ 0 & 0 & 0 & 0 & 0 & 0 & 0 & 0 & 0 \end{array} \right\} \\ E &= \text{گروه ۲} \\ &= \left\{ \begin{array}{ccccccccc} 0 & 0 & 0 & 0 & 1 & 0 & 0 & 1 & 1 \\ 0 & 0 & 0 & 1 & 0 & 0 & 0 & 0 & 1 \\ 0 & 0 & 1 & 0 & 0 & 0 & 0 & 0 & 1 \end{array} \right\} \\ E &= \text{گروه ۳} \\ &= \left\{ \begin{array}{ccccccccc} - & - & - & - & - & - & - & - & - \\ - & - & - & - & - & - & - & - & - \\ - & - & - & - & - & - & - & - & - \end{array} \right\} \end{aligned}$$

شکل ۶- دسته بندی سلولهای با شکل نامنظم بر حسب شکل و جهتگردی سطح مقطع آن با ظرف همراه با نمای بالای سلولها. گروه ۱ نماینده سلولهای با سطح مقطع کروی، گروه ۲ سلولها با کشیدگی عمود بر راستای میدان الکتریکی و گروه ۳ سلولها با کشیدگی در راستای میدان الکتریکی می‌باشد. تعداد نمونه در هر گروه به ترتیب، ۲۰، ۳۰ و ۱۶ می‌باشد. جهت میدان الکتریکی اعمالی در شکل مشخص شده است.



شکل ۷- میانگین و انحراف معیار (الف) شدت میدان الکتریکی آستانه و (ب) ولتاژ غشایی برای گروه های مشخص شده در شکل ۶. (*) در شکلها نشان دهنده اختلاف معنی دار با سطح معنی داری ۰/۰۰۱ است.



متوجه شعاع سلولهای "سی اچ او" است با هم تطابق دارند و در سایر نقاط از هم فاصله می گیرند. دلیلی که برای این تفاوت متصور می شود، غلط بودن فرض ثابت در نظر گرفتن $ITVC$ برای سلولها می باشد. پس با توجه به شکل ۵ الف می توان پیش بینی کرد که دلیل تفاوت دو منحنی مذکور، باید افزایش $ITVC$ با شعاع سلول باشد. برای بررسی صحت این پیش بینی، $ITVC$ برای هر سلول مطابق قسمت شبیه سازی مواد و روشهای این تحقیق بدست آمد که نتایج آن در شکل ۵ ب آورده شده است. همانطور که با توجه به نمودارهای شکل ۵ الف انتظار می رفت، سلولهای بزرگتر ولتاژ غشایی برانی بزرگتری دارند. بازه تغییرات $ITVC$ برای سلولهای کروی موجود، بین ۵۰۰ تا ۷۴۰ میلی ولت است (شکل ۵ ب). این نتیجه در تواافق با تحقیق تانسینگ و همکارانش است که بیان می کند که سلولهای با شعاع انحنای بیشتر (سلول کوچکتر)، راحت تر الکتروپوریت می شوند [۳۱].

محدوده لازم E_T برای الکتروپوریت شدن تمام سلولهای کروی در این آزمایش که چسبندگی جزئی به کف ظرف دارند، بین ۴۰۰ تا ۷۵۰ ولت بر سانتیمتر می باشد (شکل ۵ الف) و برابر با

۴- بحث و نتیجه گیری

همانطور که در شکل ۵ الف نشان داده شده است، سلولهای کوچکتر، شدت میدان الکتریکی بزرگتری نسبت به سلولهای بزرگتر برای رخداد الکتروپوریشن نیاز دارند. منحنی برآزش داده شده به داده های تجربی بصورت خط چین در شکل ۵ الف مشخص شده است. از طرفی با توجه به معادله (۴)، E_T با شعاع سلول رابطه عکس دارد و سلولهای کوچکتر که شعاع کوچکتری دارند، شدت آستانه بزرگتری دارند. مقدار ولتاژ $ITVC$ که در معادله (۴) ظاهر شده، بسته به نوع سلول، از ۲۰۰ تا ۱۰۰۰ میلی ولت است و مقدار $ITVC$ گزارش شده برای سلولهای "سی اچ او" حدوداً برابر ۵۸۰ میلی ولت است [۱۶]. از طرفی در بیشتر شبیه سازیها و پاسخهای تحلیلی، برای راحتی کار، این مقدار بصورت ثابت در نظر گرفته می شود [۲۳ و ۲۹ و ۳۰]. با انتخاب $ITVC$ برابر ۵۸۰ میلی ولت و استفاده از معادله (۴)، نمودار E_T بر حسب شعاع سلول، بطور تحلیلی بدست می آید که در شکل ۵ الف بصورت خط ممتد مشاهده می شود. ملاحظه می شود که ایندو منحنی خط چین و ممتد، تنها در نزدیکی ۶ میکرومتر که اندازه

گرفته اند، اندازه و شکل و جهتگیری سلولها، کاملاً بر شدت $ITVc$ و E_T تاثیر دارد. سلولهای با کشیدگی در جهت میدان، به میدان الکتریکی کوچکتری برای رخداد الکتروپوریشن نیاز دارد و این در حالیست که ولتاژ غشایی بحرانی برای این سلولها بطور معنی داری بزرگتر است. این موضوع باعث پیچیدگی بیشتر الکتروپوریشن این نوع سلولها می‌شود. تحقیقات بیشتری مورد نیاز است تا دلیل این تغییرات مورد بررسی قرار گیرد.

علاوه با توجه به شکل سلولها در گروههای انتخاب شده (شکل ۶) و نیز تفاوت معنی دار $ITVc$ و E_T فقط بین سلولهای با کشیدگی در راستای میدان الکتریکی با دو گروه دیگر (شکل ۷)، چنین به نظر می‌رسد که عامل موثر در تغییرات دو کمیت به دست آمده، اندزه سلول در جهت میدان است. بنابراین کشیدگی سلول در راستای میدان الکتریکی را که می‌توان آنرا "فاصله موثر در جهت میدان" نامید یک عامل تاثیر گذار در الکتروپوریشن است. بنابراین پیشنهاد می‌شود که در تحقیقات بعدی تقسیم بندی سلولها بر اساس فاصله موثر آنها در جهت میدان صورت بگیرد که انتظار می‌رود که در اینصورت انحراف از میانگین E_T و $ITVc$ برای دسته های جدید کمتر باشد. با در دست داشتن داده های کافی، می‌توان به یک فرمول تجربی بین $ITVc$ و فاصله موثر در جهت میدان و نیز شعاع انحنای سلولها دست یافت.

مشخص است که برای داشتن یک درمان موثر در الکتروکمoterابی، تمام سلولهای بافت توموری باید نابود شوند چون حتی در صورت زنده ماندن تعداد کمی از سلولها، مجدداً رشد تومور از سر گرفته می‌شود [۱۴]، و نیز از عوامل پالسهای با شدت زیاد که باعث تخریب بافت می‌شود، پرهیز می‌گردد [۱۸]. با توجه به این نکات، برای داشتن یک درمان موفق، باید شدت میدانی به سلولهای توموری اعمال کرد که از بیشترین شدت میدان الکتریکی موجود در توزیع برای سلولهای

بیشترین مقدار E_T حدود ۱۸۷ درصد کمترین مقدار آن است. ولی با توجه به گستره کوچک تغییرات شعاع در سوسپانسیونها، این بازه تغییرات E_T برای سوسپانسیونها از این مقدار کمتر خواهد بود. یعنی تمام سلولهای سوسپانسیون در یک بازه کوچک شدت میدان الکتریکی الکتروپوریت می‌شوند.

شکل ۷ الف شدت میدان الکتریکی آستانه میانگین برای سلولهای چسبیده با شکل نامنظم در دسته بندی انجام شده مطابق شکل ۶ را نشان می‌دهد. برای مقایسه E_T در گروههای مختلف و یافتن تفاوت های معنی دار، از تست ناپارامتری من- ویتنی^۱، استفاده شد. نتیجه این تست نشان می‌دهد که شدت میدان الکتریکی آستانه برای سلولهای با سطح مقطع دایروی و سلولهای با کشیدگی عمود بر میدان الکتریکی، تفاوت معنی داری ندارند، در صورتیکه مقادیر E_T بدست آمده برای سلولهای با کشیدگی در راستای میدان الکتریکی تفاوت معنی داری (با سطح معنی داری ۰/۰۰۱) نسبت به دو گروه قبل نشان می‌دهد. این نتیجه در تطابق با نتایج تجربی بدست آمده در مطالعات قبلی است [۳۲].

نتایج شیوه سازی بر اساس پروتکل بخش ۲-۲-۳ مقدار ولتاژ غشایی بحرانی برای تک تک سلولهای با شکل نامنظم را بدست می‌دهد. شکل ۷ ب میانگین برای سلولهای موجود در هر گروه را نشان می‌دهد. تست من-ویتنی برای این داده ها نشان می‌دهد که در حالیکه سلولهای با سطح مقطع دایروی و سلولهای با کشیدگی عمود بر میدان الکتریکی، تفاوت معنی داری در ندارند، این مقدار برای سلولهای با کشیدگی همسو با جهت میدان الکتریکی بطور معنی داری (با سطح معنی داری ۰/۰۰۱) بیشتر است. این نتیجه بدست آمده، فرض ثابت بودن $ITVc$ برای سلولهای از یک نوع را [۱۷-۱۳] رد می‌کند.

پس بر اساس این تحقیق، برای سلولهای کروی و چسبیده از یک نوع که تحت تاثیر پالسهایی با تعداد و شدت یکسان قرار

^۱ Mann-Whitney

بخشی درمان، شدت میدان اعمالی باید از بیشترین شدت آستانه برای سلولهای موجود، بزرگتر باشد. در نتیجه ریخت شناسی سلولهای بافت تومور، سایز سلولها و جهت اعمال میدان الکتریکی به سلولهای تومور حائز اهمیت زیادی در درمان است.

۵- تشکر و قدردانی

با توجه به اینکه بخشی از این تحقیق در آزمایشگاه بیوسایبرنیک دانشگاه لوبلیانا در اسلوونی انجام شده، بدینوسیله از حمایتهای مادی و معنوی همکاران در دانشگاه لوبلیانا کمال تشکر به عمل می آید.

مختلف، بزرگتر باشد. بر اساس نتایج بدست آمده، این مقدار مسلمانه به نوع، اندازه و شکل سلولها بستگی دارد و به دلیل چسیدن سلولهای بافت به یکدیگر و تنوع گسترده شکل هندسی آنها، از نتایج بدست آمده در این تحقیق پیچیدگی بیشتری دارند. همانطور که در مقدمه ذکر شد، بیشتر پروتکلهای درمانی موجود، بر اساس آزمایش‌های انجام شده روی سلولهای سوسپانسیونی به دست آمده. این تحقیق، تفاوت بین الکتروپوریت کردن سلولهای سوسپانسیونی و چسیده با شکل نامنظم در گستردگی E_T و $ITVc$ و در نتیجه پیچیدگیهای درمان موثر را برای سلولهای توموری نشان می دهد و لزوم بهینه کردن پروتکلهای درمانی را بیان می کند. بنابراین برای الکتروپوریت کردن سلولهای تومور و نتیجه

منابع

1. Neumann E, Kakorin S, Toensing K. Fundamentals of electroporative delivery of drugs and genes Fundamentals of electroporation. *Bioelectrochem Bioenerg* 1999; 48:3-16.
2. Mir LM, Bases and rationale of the electrochemotherapy. *Eur J Cancer Suppl* 2006; 4:38-44.
3. Sersa G, Miklavcic D, Cemazar M, Rudolf Z, Pucihař G, Snoj M. Electrochemotherapy in treatment of tumours. *EJSO* 2008; 34(2):232-40.
4. Rols MP. Electropemeabilization, a physical method for the delivery of herapeutic molecules into cells. *Biochim Biophys Acta* 2006; 1758(3):423-8.
5. Golzio M, Mazzolini L, Moller P, Rols MP, Teissié J. Inhibition of gene expression in mice muscle by in vivo electrically mediated siRNA delivery. *Gene Therapy* 2005;12:246-51.
6. Lukas J, Bartek J, Strauss M. Efficient transfer of antibodies into mammalian cells by electroporation. *J Immunol Methods* 1994;170: 255-9.
7. Bobanovic F, Bootman MD, Berridge MJ, Parkinson NA, Lipp P. Elementary $[Ca^{2+}]_i$ signals generated by electroporation functionally mimic those evoked by hormonal stimulation. *FASEB J* 1999; 13: 365-76.
8. Pucihař G, Kotnik T, Teissié J, Miklavčič D. Electropemeabilization of dense cell suspensions. *Eur Biophys J* 2007; 36(3):173-85.
9. Shirakashi R, Sukhorukov VL, Tanasawa I, Zimmermann U. Measurement of the permeability and resealing time constant of the electroporated mammalian cell membranes *International Journal of Heat and Mass Transfer*. *ESME J* 2004; 47(21): 4517-24.

10. Teissié J, Golzio M, Rols MP. Mechanisms of Cell membrane Electroporation: A minireview of our present (lack of ?) knowledge. BBA – General Subjects Special Issue: Biophys Comp Sys 2005; 1724(3): 270-80.
11. Kotnik T, Bobanovic F, Miklavcic D. Sensitivity of transmembrane voltage induced by applied electric fields- a theoretical analysis. Bioelectrochem Bioenerg 1997; 43 (2):285-91.
12. Kotnik T, Miklavcic D, Slivnik T. Time course of transmembrane voltage induced by time-varying electric fields – a method for theoretical analysis and its application. Bioelectrochem Bioenerg 1998; 45:3-16.
13. Kotnik T, Pucihař G, Reberšek M, Miklavcic D, Mir LM. Role of pulse shape in cell membrane electroporation. Biochim. Biophys. Acta (BBA)- Biomembranes 2003;1614(2):193-200.
14. Miklavcic D, Corovic S, Pucihař G, Pavšelj N. Importance of tumour coverage by sufficiently high local electric field for effective electrochemotherapy. EJC Supp 2006; 4 (11):45-51.
15. Gabriel, B, Teissié J. Direct observation in the millisecond time range of fluorescent molecule asymmetrical interaction with the electroporated cell membrane. Biophys J 1997; 73:2630-37
16. Teissié J, Rols MP. An experimental evaluation of the critical potential difference inducing cell membrane electroporation. Biophys J 1993; 65:409–13.
17. Tsong TY, Neumann E, Sowers AE, Jordan CA.. Theory of electroporation. In Electroporation and Electrofusion in Cell Biology. New York, Plenum 1989; 149–64
18. Miklavcic D, Semrov D, Mekid H, Mir LM. A validated model of in vivo electric field distribution in tissues for electrochemotherapy and for DNA electrotransfer for gene therapy. Biochim Biophys Acta 2000; 1523:73-83.
19. Pavlin M, Pavšelj N, Miklavcic D. Dependence of induced transmembrane potential on cell density, arrangement, and cell position inside a cell system. IEEE Trans. Biomed Eng 49: 605-12, 2002
20. Hibino M, Itoh H Kinoshita K. Time courses of cell electroporation as revealed by submicrosecond imaging of transmembrane potential. Biophys J 1993; 64: 1789-800.
21. Susil R, Semrov D, Miklavcic D. Electric field induced transmembrane potential depends on cell density and organization. Electro. Magnetobiol 1998; 17:391–99.
22. Stewart DA, Gowrishankar TR, Weaver JC. Three dimensional transport lattice model for describing action potentials in axons stimulated by external electrodes. Bioelectrochem 2006; 69:88-93.
23. Gross D, Loew LM, Webb W. Optical imaging of cell membrane potential changes induced by applied electric fields. Biophys J 1986; 50:339–48.
24. Loew, LM Voltage sensitive dyes: Measurement of membrane potentials induced by DC and AC electric fields. Bioelectromag Suppl 1992; 1:179–89.

25. Pucićhar G, Kothik T, Valič B, Miklavčič D. Numerical Determination of Transmembrane Voltage Induced on Irregularly Shaped Cells. *Ann Biomed Eng* 2006; 34 (4):642-52.
26. Čegovnik U, Novaković S. Setting optimal parameters for in vitro electroporation of B16F1, SA1, LPB, SCK, L929 and CHO cells using predefined exponentially decaying electric pulses. *Bioelectrochem* 2004; 62: 73-82.
27. Grynkiewicz G, Poenie M, Tsien RY. A new generation of Ca²⁺ indicators with greatly improved fluorescence properties, *J Biol Chem* 1985; 260: 3440-50.
28. Schwan HP. Electrical properties of tissue and cell suspensions. *Adv Biol Med Phys* 1957; 5:147–209.
29. Zudans I, Agarwal A, Orwar O, Weber SG. Numerical calculations of single-cell electroporation with an electrolyte-filled capillary. *Biophys J* 2007; 92:3696– 705.
30. Bier M. Resealing dynamics of a cell membrane after electroporation. *Phys Rev E* 2002; 66: 062905.
31. Tönsing K, Kakorin S, Neumann E, Liemann S, Huber R. Annexin V and vesicle membrane electroporation. *Eur Biophys J* 1997; 26:307–18.
32. Valic B, Golzio M, Pavlin M, Schatz A, Faurie C, Gabriel B, Teissie J, Rols MP, Miklavcic D. Effect of electric field induced transmembrane potential on spheroidal cells: theory and experiment. *Eur Biophys J* 2003; 32: 519–28.